

ми линейного расширения, приводит к динамическому изменению величин противонапряжений и в результате обеспечивает более корректную стабилизацию полотна в пропилах. Предложенный способ натяжения зубчатого венца характеризуется простотой и обеспечивает возможность создания напряженного состояния зубчатого венца в пилах большего диаметра и твердосплавных непосредственно на деревообрабатывающих предприятиях.

#### СПИСОК ЦИТИРОВАННЫХ ИСТОЧНИКОВ

1. Санёв, В.И. О поперечной жёсткости дисковых пил в покое и при вращении / В.И. Санёв, В.К. Пашков // Изв. вузов: Лесной журнал. – 1970. – №3.
2. Суша, О.Н. Установка для исследования статической устойчивости круглых пил / О.Н. Суша, Д.С. Карлович // Энергия - 2013: материалы конф., 23-25 апреля 2013г. / ИГЭУ. – Иваново, 2013.
3. Басов, К.А. Графический интерфейс комплекса ANSYS. – М.: ДМК Прес, 2006. – 248 с.

УДК 681.5.03

### ПОДБОР МОДЕЛИ ПРИВОДА МАЛОМОЩНОГО ДВИГАТЕЛЯ ПОСТОЯННОГО ТОКА ПРИ РАЗГОНЕ И ТОРМОЖЕНИИ

*Морозова М.П., Оробей И.О., Гринюк Д.А.*

Белорусский государственный технологический университет,  
Минск, Республика Беларусь

Как известно, для получения параметров настроек контура регулирования стабилизации частоты вращения требуется знать динамические характеристики объекта управления. В качестве объекта управления выступает маломощный двигатель постоянного тока с независимым возбуждением ДПР-42-Ф1-02. Датчиком частоты являлся практически такой же двигатель в режиме генератора, который жестко соединен с валом ведущего двигателя.

В качестве управляющей системы в контуре выступает Arduino. Напряжение с генератора через делитель для согласования диапазона подключено на АЦП вход микроконтроллера. В свою очередь PWM выход контроллера через силовой драйвер формирует напряжение для двигателя.

Наиболее часто в литературе можно встретить передаточную характеристику двигателя постоянного тока при моменте сопротивления  $M_n$  равном нулю как

$$W(s) = \frac{k_1}{T_E T_M s^2 + T_M s + 1},$$

где  $s$  – оператор Лапласа,  $T_E$ ,  $T_M$  – соответственно электрическая и механическая постоянные.

Однако проведенные эксперименты показали наличие существенных нелинейных свойств в динамике микромощного электропривода.

Согласно программе микроконтроллер формировал меандровый сигнал с частотой для выхода частоты на стационарное значение. Кривые торможения и разгона фиксировались с помощью цифрового осциллографа (рисунки 1-2).

Результаты эксперимента пытались аппроксимировать рядом передаточных функций с запаздыванием, получив общий вид теоретического решения от реакции передаточной функции на единичный скачок.

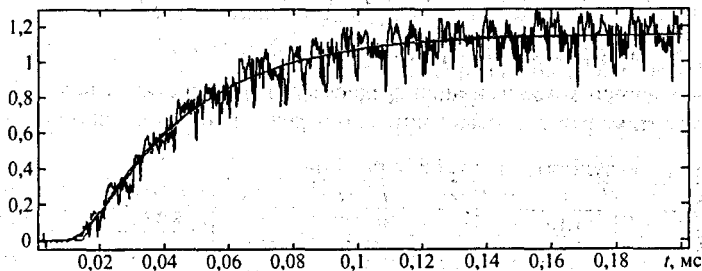


Рисунок 1 – Кривая разгона и результат ее аппроксимации

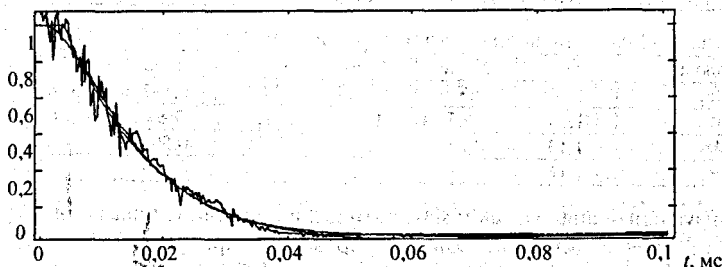


Рисунок 2 – Кривая торможения и результат ее аппроксимации

$$W_1(s) = \frac{k \exp(-\tau s)}{(T_1 s + 1)(T_2 s + 1)(T_3 s + 1)}$$

и ее решение

$$y(t) = k \left( 1 - C_1 \exp\left(-\frac{(t-\tau)}{T_1}\right) - C_2 \exp\left(-\frac{(t-\tau)}{T_2}\right) - C_3 \exp\left(-\frac{(t-\tau)}{T_3}\right) \right);$$

$$W_2(s) = \frac{k(T_3 s + 1) \exp(-\tau s)}{(T_1 s + 1)(T_2 s + 1)}$$

и ее решение

$$y(t) = k \left( 1 - C_1 \exp\left(-\frac{t-\tau}{T_1}\right) - C_2 \exp\left(-\frac{t-\tau}{T_2}\right) \right)$$

$$W_3(s) = \frac{k(T_3 s + 1) \exp(-\tau s)}{(T_1 s + 1)^2 (T_2 s + 1)}$$

и ее решение

$$y(t) = k \left( 1 - C_1 \exp\left(-\frac{t-\tau}{T_1}\right) - (C_2 + bt) \exp\left(-\frac{t-\tau}{T_2}\right) \right);$$

$$W_4(s) = \frac{k \exp(-\tau s)}{(T_1 s + 1)(T_2 s + 1)}$$

и ее решение

$$y(t) = k \left( 1 - C_1 \exp\left(-\frac{t-\tau}{T_1}\right) - C_2 \exp\left(-\frac{t-\tau}{T_2}\right) \right),$$

где  $C_1, C_2, b$  – коэффициенты, определяемые через  $T_1, T_2, T_3$ .

Используя алгоритм минимизации среднеквадратичного отклонения (СКО), были найдены оптимальные коэффициенты для передаточной функции (табл. 1-2).

Таблица 1 – Результаты для кривой разгона

Модель	$k$	$T_1, \text{мс}$	$T_2, \text{мс}$	$T_3, \text{мс}$	$\tau, \text{мс}$	СКО $\cdot 10^{-3}$
$W_1$	1,16	31,0	0,869	7,64	8,37	5,92
$W_2$	1,15	62,4	42,4	75,1	14,4	5,98
$W_3$	1,13	0,552	21,6	8,43	11,5	5,96
$W_4$	1,16	31,6	6,89	-	9,65	5,92

Таблица 2 – Результаты для кривой торможения

Модель	$k$	$T_1, \text{мс}$	$T_2, \text{мс}$	$T_3, \text{мс}$	$\tau, \text{мс}$	СКО
$W_1$	1,16	7,87	0,0699	7,68	0,543	653,18
$W_2$	1,15	56,7	16,2	71,1	3,88	605,10
$W_3$	1,13	8,05	8,04	8,55	0,597	652,91
$W_4$	1,16	7,79	7,77	-	0,613	653,14

Как визуальный анализ, так и математический результат показывают существенные отличия в динамике объекта управления при увеличении частоты и уменьшении. С хорошей точностью (особенно кривая торможения) динамики аппроксимируется характеристика аperiodическими звеньями 2-3 порядка, однако общая динамика более сложна. Наибольшие погрешности наблюдаются на начальном участке, особенно для кривой разгона.

Сильнее всего изменяется механическая составляющая динамики и время запаздывания, что связано, скорее всего, с нелинейным влиянием сил трения и силового драйвера схемы.

УДК 681.5

## АНАЛИЗ КРИТЕРИЯ СЕРИЙ ПРИМЕНИТЕЛЬНО К ПРОМЫШЛЕННЫМ ПРОГРАММИРУЕМЫМ КОНТРОЛЛЕРАМ

*Сухорукова М.П., Шитик А.М., Оробей И.О., Гринюк Д.А.*  
Белорусский государственный технологический университет,  
Минск, Республика Беларусь

Наличие автоматизации технологических процессов стало обязательным условием в современных экономических условиях. Период экстенсивного пути повышения уровня автоматизации за счет установки измерительных приборов с необходимой точностью и настройкой локальных контуров практически завершился. В настоящее время уже недостаточно просто настроить пропорциональ-